

行星齿轮传动

〔苏联〕B. H. 柯特略者夫 著



行星齒輪傳動

[苏联] B. H. 柯特略者夫 著

陳德健 汪一麟
於燕蓀 雷錫鑒
譯

上海科學技術出版社

內 容 提 要

本书讲述設計行星齒輪傳動的基本問題，如分类、动力学、效率、齿数、嚙合几何特性，对于强度計算和方式選擇討論更为詳尽。附有許多計算例題。

本书供机械傳动方面的設計、科研、制造人員及有关大专師生参考。

行 星 齒 輪 傳 动

ПЛАНЕТАРНЫЕ ПЕРЕДАЧИ

原著者 [苏联] В. Н. Кудрявцев

原出版者 Машгиз · 1960年版

譯 者 陈德健 汪一麟
於燕蓀 雷錫鑑

* 上海科学技术出版社出版

(上海瑞金二路430号)

上海市书刊出版业营业許可証出093号

新华书店上海发行所发行 各地新华书店經售

商务印书館上海厂印刷

*
开本 850×1168 1/32 印張 10 24/32 字數 286,000

1962年4月第1版 1962年4月第1次印刷

印數 1—7,000

统一书号：15119·1660

定 价：(十四) 1.80 元

序

减小机器外廓尺寸和重量的最主要方法就是将具有定轴线齿轮的普通传动改为行星传动。在行星传动中，具有动轴线的齿轮，称为行星轮。

行星传动之所以比普通传动紧凑是因为载荷分配在几个行星轮上而且合理地利用了内啮合的缘故。因此，行星传动与普通传动相比，即使它们的零件材料和机械性质都相同时，在其结构布置本身中就有可能获得很小的外廓尺寸和重量。但是只要有一种大大提高承载能力的可能性（减小外廓尺寸和重量），就会导致一系列其他可能性，促使载荷增加从而使外廓尺寸和重量进一步减小。事实上，将普通传动改为行星传动可大大减小齿轮直径，因而在刀具的变钝程度相同情况下，可显著增加轮齿工作表面硬度，从而可大大提高啮合的承载能力。齿轮尺寸的减小可能是由这些原因所引起的：例如，完全正确地改用优质材料或舍弃最终的热处理——调质而改用渗碳后淬火或氮化以及改用较高的精度等级等。这些可能性同样也促使外廓尺寸和重量大大减小。

研究指出，将普通传动改为行星传动，可保证使重量降低到 $\frac{1}{2} \sim \frac{1}{6}$ 。在这种情形下降低得较多：改为行星传动后有可能利用普通传动所不宜于采用或不能采用的措施（因齿轮尺寸较大之故）来提高承载能力。

由于对行星传动往往产生毫无根据的怀疑和错误的看法，认为任何行星传动，只有在技术最高的机器制造工厂中制造，才能保证很高的制造精度，才能可靠地工作，因此上述大大减小传动机构尺寸和重量的可能性未被充分利用。

实际上中等技术的工厂能制造出完全可靠的、具有三个行星

輪和一个游动中心輪的行星傳動，許多實踐例子已証實这点。

还有在同一制造精度下，行星傳動比起簡單傳動（即軸線固定的）来，載荷一般沿齒圈寬度分布得較好。这是由于在行星傳動中齒圈寬度对直徑的比值 q_u 一般不超过 0.7，而在普通減速器中却达 1.6，在个别情況下，例如在透平減速器中則显著地超过此值。

q_u 愈大，显然为了保証要求的貼合程度，制造精度就应当愈高。随着 q_u 減小，变形对載荷沿齒圈寬度分布均匀性的不良影响也減小。在定軸齒輪傳動中，支座对齒圈的布置大多数是不对称的，这时軸的变形就使載荷沿齒圈寬度分布不均匀。在行星傳動中，軸的变形对載荷沿齒圈寬度分布的影响一般极小。

行星傳動的箱壳比普通定軸齒輪傳動在同样条件下所用的箱壳，其重量要小好几倍。这首先是因为行星傳動的箱壳外廓尺寸小很多的緣故。可是外廓尺寸的減小又使箱壁厚度減薄，这就大大減輕重量。此外，下面这种情况对重量的影响很大：在正确設計的具有几个行星輪的行星傳動中，主軸支座承受的由內力引起的徑向載荷不大，且載荷沿齒圈寬度的分布与箱壳剛度的关系一般极小。因此可以将箱壳譬如說做成剛性环的形式（具有凸舌以便固定在基础上）以承受由固定的基本构件傳來的載荷，該基本构件上面固定着两个薄壁罩壳。后者（在用流动的潤滑油冷却时）譬如可以用非金属材料做成。

由于紧凑和重量輕，行星傳動广泛用于运输机械中。具有活塞式和渦輪螺旋桨式发动机的飞机和直升飞机中，带动螺旋桨的傳動裝置一般用行星傳動。渦輪螺旋桨飞机的行星傳動复杂得多，功率也大得多。很多飞机设备的驅動裝置亦采用行星傳動。

行星傳動在履帶式机器的傳動裝置中获得广泛应用。它在汽車和熱力机車中的作用在不断增长。

不仅仅在运输机械制造中采用行星傳動产生巨大的效果，在許多場合下对于固定式机器也是非常合理的，特別是代替冶金設備、化工机械等中的巨型大功率傳動裝置。下面的例子值得注意：一般压力为 400 吨的半干压制耐火产品用的压力机，其傳動裝置

做成普通傳動時重 14 噸。為同一目的而設計的壓力機改為行星傳動裝置後則重 2 噸。當將普通定軸傳動改為行星傳動時，管磨機一個傳動裝置的重量就可減輕 30 噸。

但是行星傳動的優點不限於重量和外廓尺寸小。通過行星傳動可把能量由一根主動軸傳給若干根從動軸，這些從動軸角速度的關係在工作時是變化的。譬如，在汽車車輪的傳動裝置中就有這種情形。行星傳動可用于運動的複合，因而廣泛應用於金屬切削機床、無級調速的傳動裝置、儀器製造業和其他場合。

設計行星傳動時，正確選擇結構布置的意義遠較設計普通傳動時大。這是由於有很多各種各樣的行星傳動，其外廓尺寸、重量和效率相差很大（當傳動比和載荷相同時）。結構布置選擇不當時，不但可能喪失在外廓尺寸和重量方面的優點，甚至可能得到不利于使用的傳動。由於受了對問題本質說明得不正確的文獻的影響，曾設計了和製造了效率比所希望的數值低很多的傳動，這種例子是不少的。例如，計算效率為 0.8~0.9，實際值只有百分之几左右甚至發生自鎖。這樣的傳動裝置就必須全部返工。因而引起了對行星傳動的懷疑，因此往往失去減小機器外廓尺寸、重量和成本的可能性。

有時對行星傳動的外廓尺寸有不正確的評價，把不具有減小尺寸可能的傳動也說成是有這種可能。例如有這種著作[36]，其作者推薦由滾動軸承組成的行星傳動來減小機器尺寸。實際上這種傳動的外廓尺寸比普通齒輪傳動大得多[28]。也有人把外廓尺寸特別小的性質妄加在外輪嚙合的行星傳動上。往往忘記這一點：非內嚙合的行星傳動具有較大的外廓尺寸、重量和成本。

當然，本書不可能包括有關行星傳動計算和設計的所有問題。特別是本書沒有綜合某些運輸機械傳動系統設計者感興趣的複雜行星變速箱問題，關於這方面的資料讀者可在許多專門文獻[14、16、18、29 等等]中找到。

本書對行星傳動嚙合的強度計算給予很大的注意。為了便於進行計算，有許多數字例題，包含了書中所涉及的所有主要問題。

代号和定义

一对啮合的齿輪中，大的一个称为大齒輪，小的称为齧輪。术语齒輪是既指齧輪亦指大齒輪。

对于一对啮合的两个齒輪共同的字母代号(z , d_θ , $[\sigma]$, $[C_\kappa]$, M 等), 标号1是指齧輪, 标号2則指大齒輪。

所用代号

A ——中心距;

A_0 ——不修正傳动和高度修正傳动($\xi_c=0$)的中心距;

B ——齒圈的工作宽度;

B_{ag} (B_{bg})——在 $a-g$ 噬合(或在 $b-g$ 噬合)中, 齒圈的工作宽度;

d 和 d_θ ——节圓和分度圓直徑;

$i_{ab}^H = \frac{n_a - n_H}{n_b - n_H}$ ——构件 a 和 b 相对于构件 H 而取的角速度比。

同样有 i_{aH}^b ——构件 a 和 H 相对于构件 b 而取的角速度比等等;

$m = \frac{t}{\pi}$ ——模数(由标准系列选取);

m_n 和 m_s ——法面和端面模数;

m_{bag} , m_{bbf} —— $a-g$ 或 $b-f$ 噬合时的端面模数;

N^H ——噛合功率, 等于作用在齒輪上的力矩与相对于轉臂的角速度的乘积;

N_y ——封閉功率;

r_0 ——基圓半徑;

z ——齒數;

q_{ua} ——圓柱齒輪的齒圈工作寬度對齧輪分度圓直徑的比值；

$q_{ua} = \frac{B_{ag}}{d_{da}}$ ——在 $a-g$ 嘴合時，齒圈的工作寬度對中心輪 a 的分度圓直徑的比值；

$q_\kappa = \frac{B}{L}$ ——圓錐齒輪的齒寬系數；

α_0 ——原始齒廓角；

$\alpha_0 = 20^\circ$ ——標準原始齒廓角；

α_{on} ; α_{os} ——生成齒條在法面和端面的齒廓角；

α_s ——端面嘴合角；

β_0 ——分度圓柱上的輪齒傾斜角；

δ ——圓錐齒輪軸線間的夾角；

φ ——給定齒輪由相對於轉臂的角速度而得的功率（即嘴合功率）對同一齒輪由相對於固定坐標系的角速度而得的功率之比。例如對齒輪 a 有：

$$\varphi_a = \frac{N_a^H}{N_a} = \frac{M_a(n_a - n_H)}{M_a n_a};$$

ξ 和 ξ_n ——對端面和法面模數而言的修正系數；

η ——傳動效率；

ψ ——損失系數；

$C_\kappa = 0.918 \frac{\sigma_\kappa^2}{E_{np}}$ 公斤/厘米²——接觸應力系數；

$[C_\kappa] = 0.918 \frac{[\sigma_\kappa]^2}{E_{np}}$ 公斤/厘米²——節點附近齒根表面的許用

C_κ 值；

$[C_{\kappa s}]$ ——當 $[\sigma_\kappa] = [\sigma_{\kappa s}]$ 時所得的 $[C_\kappa]$ 值；

$E(E_{np})$ ——彈性模數（誘導彈性模數）；

H_B 和 R_C ——勃氏硬度和洛氏硬度；

$R_{C_{\text{芯}}}$ ——齒芯的洛氏硬度；

$M(M_H)$ ——作用在齒輪（或轉臂）上的扭矩；

N_a ——在齒輪輪齒的材料中，應力變化的相當循環次數；

n ——每分鐘轉數；

$P_\delta = \frac{2M}{d_\delta}$ ——對分度圓而言的圓周力；

v^H ——相對於轉臂的圓周速度；

σ_k ——接觸區中的最大法向挤压應力；

$[\sigma_k]$ ——節點附近齒根表面的許用 σ_k 值；

$[\sigma_{k\alpha}]$ ——當循環次數 N_a 等於或超過相當於接觸疲勞曲線水平段開始時的循環次數 $N_{u\alpha}$ 時的許用 σ_k 值；

$[\sigma]_{-1}$ 和 $[\sigma]_0$ ——在可逆的對稱載荷和不可逆載荷下，輪齒弯曲計算時的許用應力；

σ_{sp} ——拉伸強度限；

$\sigma_{sp.c}$ ——齒芯材料的拉伸強度限；

Ω ——考慮載荷在各行星輪中分配不平均的系數。在接觸應力和弯曲應力計算時， Ω 下分別附加標號 κ 和 u (Ω_κ 和 Ω_u)；

a_p ——行星輪數。

目 录

序

代号和定义

第一章 行星传动的基本知識	1
§ 1 术语和定义	1
§ 2 行星传动的分类	3
第二章 行星传动的运动学	11
§ 3 规定代号和基本概念	11
§ 4 转臂固定法(威利士法)	16
§ 5 行星传动运动学研究的图解分析法	18
§ 6 平行于固定平面而运动的构件角速度之間的普遍关系式及其 在行星传动中的应用	22
§ 7 $2K-H$ 和 $K-II-V$ 传动(图 3、4、6 等)的运动学	23
§ 8 差动机构的运动学	29
§ 9 $3K$ 传动的运动学	31
§ 10 $c-I$ 传动的运动学	42
第三章 行星传动效率的确定	48
§ 11 概述	48
§ 12 基本概念和规定。啮合功率	50
§ 13 封闭功率的概念	56
§ 14 确定行星传动摩擦损失的根据	61
§ 15 不考虑摩擦损失时各基本构件所传递的力矩和功率之間的关 系式	66
§ 16 当一个中心輪固定时,确定 $2K-H$ 和 $K-II-V$ 传动效率的公式	69
§ 17 $2K-H$ 和 $K-II-V$ 传动在摩擦损失方面的分析	74
§ 18 当不同的基本构件固定时效率的普遍关系式	78
§ 19 当一个中心輪固定时确定 $3K$ 传动效率的关系式	81
§ 20 作用在差动机构基本构件上力矩的确定。差动机构的效率	96
§ 21 确定 $c-I$ 传动(图 11 等)效率的关系式	100

§ 22 行星傳動中高效率和低效率的原因	106
§ 23 按 M. A. 克萊依納斯的方法確定行星傳動的效率.....	117
§ 24 確定行星傳動效率的例題	119
第四章 行星傳動的嚙合計算	124
§ 25 行星傳動的裝配條件	124
§ 26 行星傳動的輪齒強度計算	141
§ 27 直齒圓柱齒輪行星傳動的角度修正	171
§ 28 行星輪間的載荷分配	198
§ 29 行星傳動嚙合作用力和載荷沿齒圈寬度方向分布情況的確 定	220
§ 30 行星傳動設計的有關問題	231
§ 31 行星傳動中 M. Л. 諾維柯夫嚙合計算的資料.....	249
§ 32 行星傳動型式選擇的指示	252
§ 33 行星傳動計算舉例	266
附 彙	301
I. $2K-H$ 和 $K-H-V$ 傳動損失系數 ψ^H 的確定	301
II. 共軛齒廓曲率半徑的確定.....	308
III. 封閉功率在傳動試驗中的應用.....	314
參考文獻	332

第一章 行星傳動的基本知識

§ 1 术語和定义

通常行星傳動是由齒輪組成的，只有極少數是由摩擦輪組成的。

以後我們所提到在行星機構中的傳動均指齒輪傳動而言，但要知道有關齒輪的行星傳動的結論也適用於摩擦輪的行星傳動。現在我們來談其基本定義。

具有齒輪的機構，而這些齒輪的軸線中只要有一個是可動的，則這種機構就稱為行星機構。

上面裝有動軸線齒輪的構件稱為轉臂，用字母 H 表示。

圖 1, a、b 和 c 所示的裝置可作為行星機構的例子，它是由兩個嚙合的齒輪 a 和 g 組成，其中齒輪 a 是固定的，而裝在轉臂 H （其轉動軸線與 a 輪的軸線重合）上的齒輪 g 具有可動的軸線。軸線可動而具有齒圈的構件稱為行星輪。

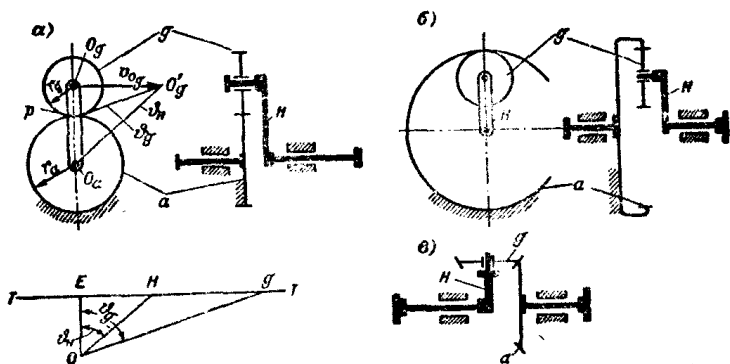


图 1 简单的行星机构

在图 1 的机构中, 行星輪 g 只有一个齒圈。

当轉臂轉动时, 行星輪圍繞它本身的軸線轉动同时又随轉臂一起运动。它們好象行星的运动一样, 所以称为“行星机构”或“行星傳动”。

轉臂 H 繞之轉動或可以繞之轉動的固定軸線称为主軸線。与行星輪啮合而軸線又与主軸線重合的齒輪称为中心輪(图 1 中的齒輪 a)。

在图 1 所示的行星机构中, 有两个构件 (a 和 H) 其轉動軸線都是与主軸線重合的。显然, 这样的行星机构不能用来作为改变角速度的傳动。假如在如图 1, a 所示的行星机构中附加一个具有内齿的中心輪 b , 則成为具有三个构件 a 、 b 和 H 的行星机构, 它們的轉動軸線均与主軸線重合(图 2)。这样的机构可用来改变角速度。例如固定齒輪 b 不动, 就成为实际上应用很广泛的行星傳动, 其中主动构件和从动构件是构件 a 和 H 或 H 和 a (图 2, a)。使构件 a 固定, 則获得主动构件和从动构件是 b 和 H 或 H 和 b 的傳动(图 2, b)。使构件 H 固定, 則获得所有的齒輪軸線均固定的傳动(图 2, c)。由行星机构的轉臂固定而获得的傳动称为簡單傳动。可以圍繞主軸線轉動, 而在工作时承受由外力矩引起的載荷的构件称为基本构件*。

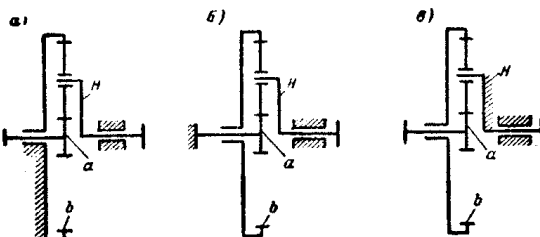


图 2 由同一机构先后固定不同构件而获得的各种傳动方案

所有三个基本构件均可动的行星机构称为差动机构, 或称为差动傳动。

* 当然基本构件也可能是固定的。例如, 在許多結構中, 中心輪中的一个与傳动的箱壳固定在一起, 通过箱壳来承受外力矩。

§ 2 行星传动的分类

在工作过程中,不改变齿轮的轴线相对位置的行星传动

这类传动根据基本构件的代号来表示。在简写代号中,中心

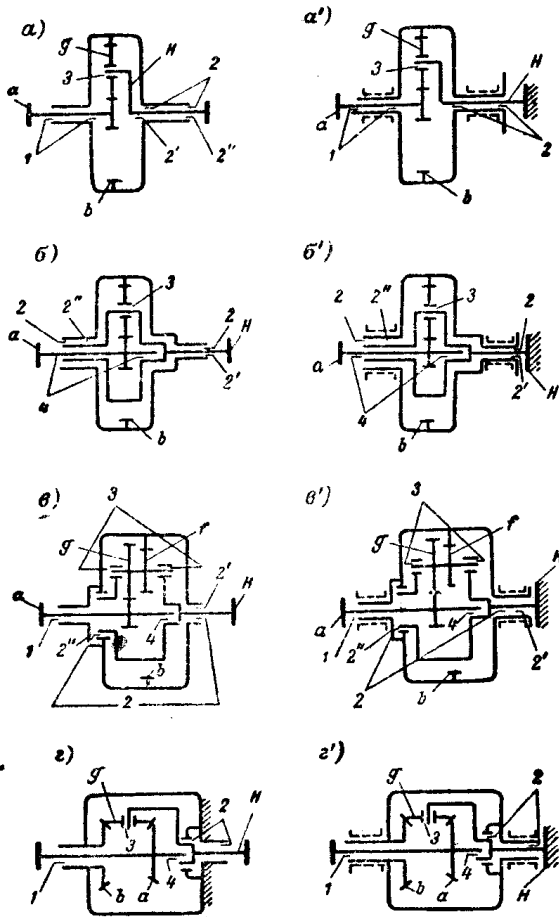


图 3 $i_H < 0$ 的 $2K-H$ 传动: a 和 b —具有外啮合和内啮合的单级 $2K-H$ 传动 ($i_{bH}^a = 1 + \frac{z_a}{z_b}$, $i_{ba}^a = -\frac{z_a}{z_b}$, $i_{ga}^a = -\frac{z_a}{z_g}$); c —同上,但

是双级传动 ($i_{bH}^a = 1 + \frac{z_a}{z_g} \frac{z_f}{z_b}$, $i_{ba}^a = -\frac{z_a}{z_g} \frac{z_f}{z_b}$, $i_{ga}^a = -\frac{z_a}{z_g}$);
t—圆锥齿轮的单级 $2K-H$ 传动

輪用字母 K 来表示。

这类傳动有三种型式: $2K-H$ 、 $3K$ 和 $K-H-V$ 。

在 $2K-H$ 傳動中, 基本构件是两个中心輪 a 、 b 和轉臂 H (图 2、3 和 4)。

单級和双級* $2K-H$ 傳動在工业上已获得采用。图 3 和图 4 下的注解中给出应用最广的一些傳動的名称。

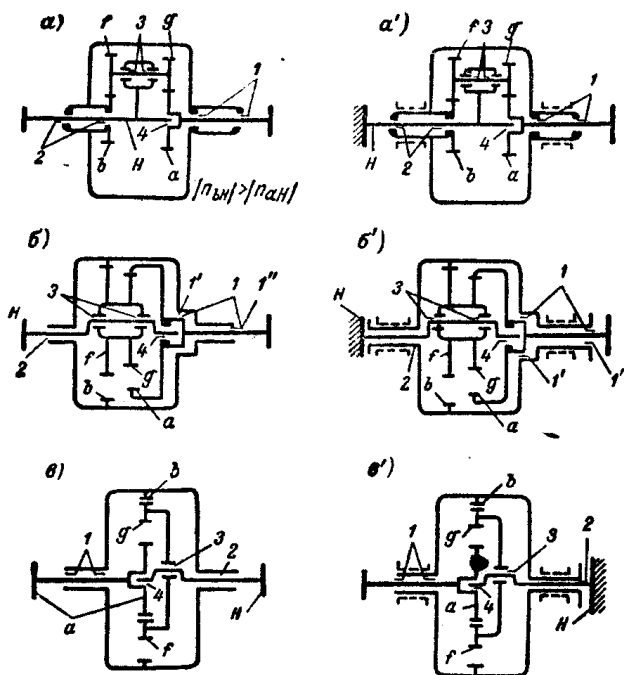


图 4 $i_H^H > 0$ 的 $2K-H$ 傳動: a —外啮合的 $2K-H$ 傳動

$$(i_{bH}^H = 1 - \frac{z_a}{z_g} \frac{z_f}{z_b}, i_{ba}^H = \frac{z_a}{z_g} \frac{z_f}{z_b}, i_{ga}^H = -\frac{z_a}{z_g});$$

b 和 c —内啮合的 $2K-H$ 傳動

$$(i_{bH}^H = 1 - \frac{z_a}{z_g} \frac{z_f}{z_b}, i_{ba}^H = \frac{z_a}{z_g} \frac{z_f}{z_b}, i_{ga}^H = \frac{z_a}{z_g})$$

* 在确定傳動的級數时, 討論的是固定行星傳動的轉臂而获得的简单傳動; 此时应遵循定軸齒輪傳動通行的規定来分析, 根據該規定, 具有惰輪的傳動(如图 3, a 和 c 所示, 当角速度 $\omega_B = 0$ 时), 是单級傳動。

在 $3K$ 傳動中，基本構件是三個中心輪 a 、 b 和 e （圖 5, a），而轉臂只用來作為支承行星輪的裝置，並不承受由外力矩傳來的載荷。圓柱齒輪的 $3K$ 行星傳動最有實際意義。也可以做成具有圓錐齒輪的 $3K$ 傳動 [33]。但圓錐齒輪的 $3K$ 傳動由於較大的工藝困難而且又可以用圓柱齒輪的 $3K$ 傳動來代替，因此就無實用價值。在實踐中若採用圓錐齒輪的 $3K$ 傳動，應當認為是傳動型式選擇得不合理。

圖 5, i 所示的 $3K$ 傳動與圖 5, a 的傳動有所區別，區別在於兩個可動的中心輪與行星輪的同一個齒圈嚙合。圖 5, d 所示的 $3K$ 傳動中，行星輪由三個齒圈 f 、 g 和 h 組成。這種傳動型式在行星變速器中常遇到。也可以設計成外嚙合的 $3K$ 傳動 [43, 44]，但與內嚙合的 $3K$ 傳動比較起來，它的外廓尺寸和重量都很大，而且效率低很多。

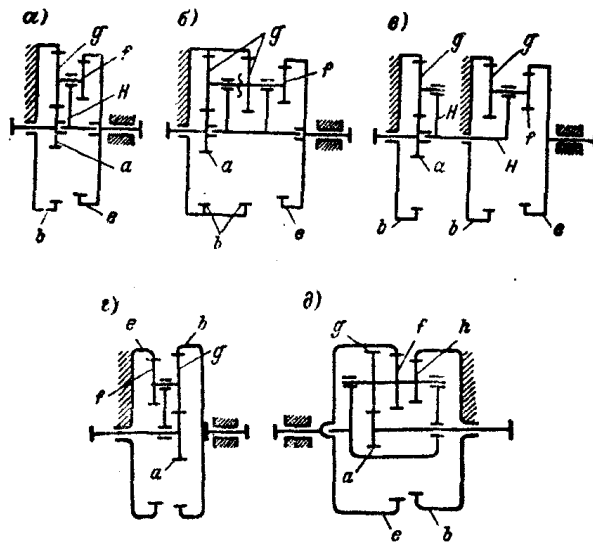


圖 5 圓柱齒輪的 $3K$ 傳動

現在我們來討論 $K-H-V$ 傳動（圖 6）。在平行軸之間實現傳動比等於 +1 的機構（以後簡稱為機構 W ）是這種傳動的不可分割的部分。在 W 機構中不採用齒輪嚙合，因為使用後者會使外廓

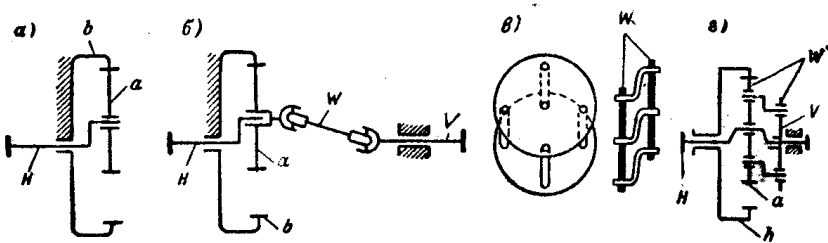


图 6 $i^H > 0$ 的 $K-H-V$ 傳動

尺寸、重量和摩擦損失均增加。

在图 6, a 所示的机构中, 再添加一个圍繞主軸線旋轉的构件(以后用符号 V 表示, 图 6, b), 用 W 机构把該构件与行星輪 a 联接。这样就成为 $K-H-V$ 傳動, 其基本构件是中心輪 b 、轉臂 H 和构件 V , 而且后者的角速度等于行星輪 a 的角速度。图 6, c 表示 $K-H-V$ 傳动方案的另一形式, 其中两个万向联軸节作为 W 机构。这种結構的缺点是軸向尺寸較大, 而且不能同时采用两个行星輪[20]。也可以用欧氏联軸节*来代替万向联軸节, 但在这种情况下, 也只能用一个行星輪而且效率很低**。

也可以用图 6, d 所示的装置来获得 $i=1$ 的傳動比。图 6, i 表示采用图 6, c 的装置作为 W 机构时的 $K-H-V$ 傳動。

讀者甚至在不知道图 3 和图 4 所示方案的情况下, 也可以很容易独立地获得任意的 $2K-H$ 傳動方案, 包括这类傳動实际上所有被采用的型式在內。为此只要在两根軸(它们的軸線都与主軸線重合)之間实现某种傳動即成, 該傳動的齒輪軸線相对于轉臂 H 而言应是固定的。这种傳動的方案有无穷多, 因此只选取最简单的方案, 这不是为了研究方便, 而是为了要获得結構和工艺方面最合理的傳動。

* 即浮动盘联軸节——譯者。

** 假如采用 I.O. A. 格林所提議的联軸节(設計者称之为十字滚动联軸节)来代替欧氏联軸节, 则 W 机构中的摩擦损失是很小的。这种联軸节与欧氏联軸节相似, 它与后者的区别在于用滚动摩擦代替了滑动摩擦。当采用格林联軸节时, 只能用一个行星輪[19 中的图 19]。